

Vivinex™

МОДЕЛЬ XY1A

Vivinex™ Toric

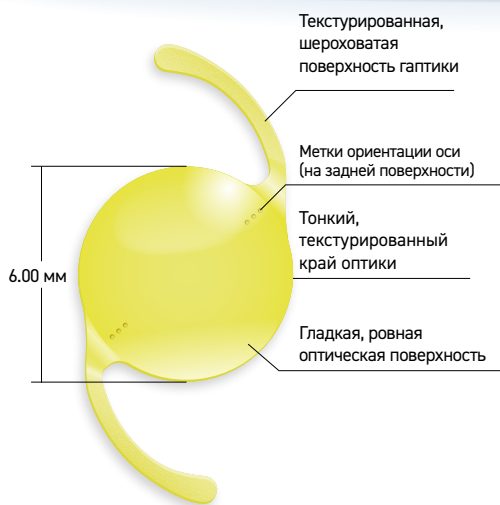
ИДЕАЛЬНОЕ ЗРЕНИЕ И
ВЕЛИКОЛЕПНАЯ РОТАЦИОННАЯ
СТАБИЛЬНОСТЬ



- Гидрофобный, свободный от глистенинга, акриловый материал ИОЛ^{1,2}
- Запатентованная асферическая конструкция оптики улучшает качество изображения³
- Обработка активным кислородом, гладкая поверхность и прямоугольный оптический край снижают вероятность помутнения задней капсулы (ПЗК)^{2,4,5,6,7,8,9,10}
- Средняя ротация 1.1° [диапазон: 0.0° – 5.0°]
100% линз (n=103) показали **не более 5° ротации** от целевой оси в конце операции и во время всех последующих посещений: **через 1 час, 1 неделю, 1 месяц и 6 месяцев**¹¹
- Привычный и надежный инжектор iSert® обеспечивает контролируруемую имплантацию

Vivonex™

МОДЕЛЬ XY1A



Vivonex™ iSert®



Vivonex™ Toric	
Название модели	XY1A
Конструкция оптики	Двояковыпуклая с прямоугольным, тонким и текстурированным краем оптики Передняя поверхность: асферический дизайн Задняя поверхность: торический дизайн
Материал оптики и гаптики	Гидрофобный акрил Vivonex™ с УФ-фильтром и фильтром части синего спектра
Конструкция гаптики	Текстурированная, шероховатая поверхность гаптики
Размеры (Оптика/Общий)	6.00 мм / 13.00 мм
Диоптрийный ряд	от +1.00 до +30.00 D (с шагом 0.50 D)
Сила цилиндра ¹²	от 1.00 до 6.00 D (от T2 до T9) от T2 до T3 с шагом 0.50 D от T3 до T9 с шагом 0.75 D
Номинальная А-константа*	118.9
Оптимизированные константы**	Haigis $a_0 = -0.8733$ $a_1 = 0.2093$ $a_2 = 0.2277$
	Hoffer Q $pACD = 5.693$
	Holladay 1 $sf = 1.926$
	SRK/T $A = 119.18$
Инжектор	Vivonex™ iSert® предустановленный
Наружный диаметр носика инжектора	1.70 мм
Рекомендуемый размер разреза	2.20 мм

Модель XY1A	Сила цилиндра в плоскости ИОЛ	Сила цилиндра в плоскости роговицы ¹³
T2	1.00 D	0.69 D
T3	1.50 D	1.04 D
T4	2.25 D	1.56 D
T5	3.00 D	2.08 D
T6	3.75 D	2.60 D
T7	4.50 D	3.12 D
T8	5.25 D	3.64 D
T9	6.00 D	4.17 D

Калькулятор для расчета Vivonex™ Toric находится здесь: www.HOYAtoric.com

1 Tandogan, T. et al. (2021): In-vitro glistening formation in six different foldable hydrophobic intraocular lenses. In BMC Ophthalmol 21, 126. 2 HOYA data on file. DoF-CTM-21-002, HOYA Medical Singapore Pte. Ltd, 2021. 3 Pérez-Merino, P.; Marcos, S. (2018): Effect of intraocular lens decentration on image quality tested in a custom model eye. In: Journal of cataract and refractive surgery 44 (7), p. 889-896. 4 Leydolt, C. et al. (2020): Posterior capsule opacification with two hydrophobic acrylic intraocular lenses: 3-year results of a randomized trial. In: American journal of ophthalmology 217 (9), p. 224-231. 5 Giacinto, C. et al. (2019): Surface properties of commercially available hydrophobic acrylic intraocular lenses: Comparative study. In: Journal of cataract and refractive surgery 45 (9), p. 1330-1334. 6 Werner, L. et al. (2019): Evaluation of clarity characteristics in a new hydrophobic acrylic IOL in comparison to commercially available IOLs. In: Journal of cataract and refractive surgery 45 (10), p. 1490-1497. 7 Nanavaty, M. et al. (2019): Edge profile of commercially available square-edged intraocular lenses: Part 2. In: Journal of cataract and refractive surgery 45 (6), p. 847-853. 8 Matsushima, H. et al. (2006): Active oxygen processing for acrylic intraocular lenses to prevent posterior capsule opacification. In: Journal of cataract and refractive surgery 32 (6), p. 1035-1040. 9 Farukhi, A. et al. (2015): Evaluation of uveal and capsule biocompatibility of a single-piece hydrophobic acrylic intraocular lens with ultraviolet-ozone treatment on the posterior surface. In: Journal of cataract and refractive surgery 41 (5), p. 1081-1087. 10 Eldred, J. et al. (2019): An In Vitro Human Lens Capsular Bag Model Adopting a Graded Culture Regime to Assess Putative Impact of IOLs on PCO Formation. In: Investigative ophthalmology & visual science 60 (1), p. 113-122. 11 Schartmüller, D. et al. (2019): True rotational stability of a single-piece hydrophobic intraocular lens. In: The British journal of ophthalmology 103 (2), p. 186-190. 12 В плоскости ИОЛ. 13 Основано на средних значениях псевдофакических глаз. *Указанная А-константа используется как отправная точка для расчета диоптрийной силы ИОЛ. При расчете точной оптической силы хрусталика рекомендуется проводить расчеты индивидуально, исходя из используемого оборудования и собственного опыта оперирующего хирурга. **Указанные оптимизированные константы для расчета оптической силы интраокулярной линзы опубликованы компанией IOLCon на своем сайте: <https://iolcon.org> и рассчитаны на основе 1475 клинических результатов для Vivonex™ модель XY1/ХС1 по состоянию на 24 сентября 2021. Эти константы основаны на фактических хирургических данных и предоставляются компанией IOLCon в качестве отправной точки для индивидуальной оптимизации констант. Информация, доступная на веб-сайте, основана на данных, полученных от других пользователей, а не от HOYA Surgical Optics ("HSO"). Поэтому HSO не гарантирует правильность, полноту и актуальность содержания указанного сайта.

РУ №РЗН 2022/18220 от 08.09.2022. Содержащаяся информация предназначена для медицинских работников. Полный перечень показаний и противопоказаний приведен в инструкции по применению. Конструкция и технические характеристики могут быть изменены без предварительного уведомления в результате продолжения деятельности технической разработки. HOYA, Vivonex и multiSert являются товарными знаками корпорации HOYA Corporation и/или ее филиалов.

©2022 HOYA Medical Singapore Pte. Ltd. Все права защищены.

HOYA Medical Singapore Pte. Ltd | 455A Jalan Ahmad Ibrahim | Singapore 639939



Эксперт в поставке материалов для офтальмологии. Проверен временем.
Дистрибьютор ООО «Серджик» 129164, г. Москва, ул. Маломосковская, д. 18, стр. 1
info@surgix.ru | www.surgix.ru | +7 (495) 543 74 73

Surgix
ophthalmic surgical products